

Eingabe: Farbmétrisches Natürliches-Reflektiv-System CNS18

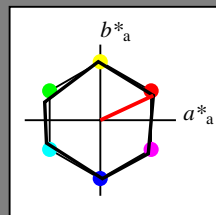
für Buntton  $h^* = lab^*h = 25/360 = 0.069$

$lab^*tch$  und  $lab^*nch$

D65: Buntton R

LCH\*Ma: 57 77 25

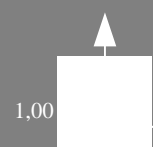
olv\*Ma: 1.0 0.0 0.0



CNS18; adaptierte CIELAB-Daten

	$L^*=L^*_a$	$a^*_a$	$b^*_a$	$C^*_{ab,a}$	$h^*_{ab,a}$
RMa	56.7	70.15	32.71	77.4	25
JMa	56.7	-2.69	77.35	77.4	92
GMa	56.7	-73.6	23.92	77.4	162
G50B <sub>Ma</sub>	56.7	-71.24	-30.23	77.4	203
B <sub>Ma</sub>	56.7	2.7	-77.34	77.4	272
B50R <sub>Ma</sub>	56.7	63.4	-44.38	77.4	325
N <sub>Ma</sub>	18.01	0.0	0.0	0.0	0
W <sub>Ma</sub>	95.41	0.0	0.0	0.0	0
RCIE	39.92	58.74	27.99	65.07	25
JCIE	81.26	-2.88	71.56	71.62	92
GCIE	52.23	-42.41	13.6	44.55	162
BCIE	30.57	1.41	-46.46	46.49	272

Dreiecks-Helligkeit  $t^*$



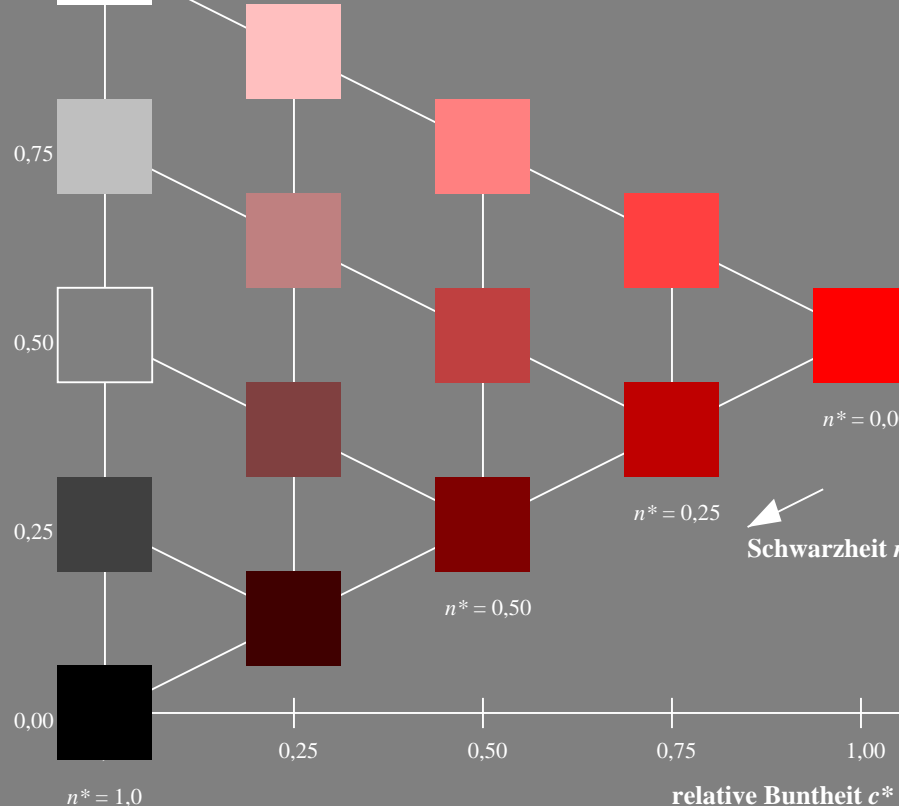
%Umfang

$u^*_{rel} = 100$

%Regularität

$g^*_{H,rel} = 59$

$g^*_{C,rel} = 100$



VG420-7, 5 stufige Reihen für konstanten CIELAB Buntton 25/360 = 0.069 (links)

Ausgabe: Farbmétrisches Offset-Reflektiv-System ORS18

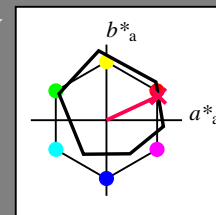
für Buntton  $h^* = lab^*h = 25/360 = 0.069$

$LAB^*LCH$ ,  $LAB^*NCH$

D65: Buntton O

LCH\*Ma: 48 76 25

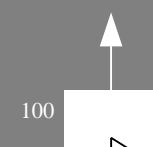
olv\*Ma: 1.0 0.0 0.32



ORS18; adaptierte CIELAB-Daten

	$L^*=L^*_a$	$a^*_a$	$b^*_a$	$C^*_{ab,a}$	$h^*_{ab,a}$
OMa	47.94	65.39	50.52	82.63	38
YMa	90.37	-10.26	91.75	92.32	96
LMa	50.9	-62.83	34.96	71.91	151
CMa	58.62	-30.34	-45.01	54.3	236
V <sub>Ma</sub>	25.72	31.1	-44.4	54.22	305
M <sub>Ma</sub>	48.13	75.28	-8.36	75.74	354
N <sub>Ma</sub>	18.01	0.0	0.0	0.0	0
W <sub>Ma</sub>	95.41	0.0	0.0	0.0	0
RCIE	39.92	58.66	26.98	64.57	25
JCIE	81.26	-2.16	67.76	67.79	92
GCIE	52.23	-42.25	11.76	43.87	164
BCIE	30.57	1.15	-46.84	46.86	271

CIELAB-Helligkeit  $L^*$



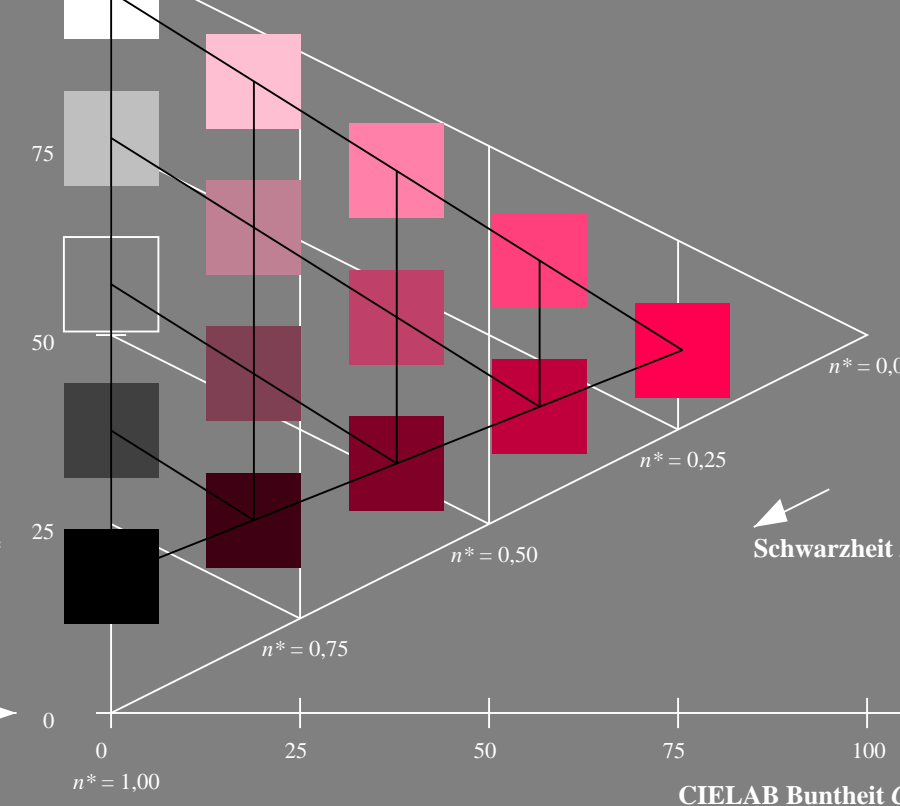
%Umfang

$u^*_{rel} = 93$

%Regularität

$g^*_{H,rel} = 57$

$g^*_{C,rel} = 59$



5 stufige Reihen für konstanten CIELAB Buntton 25/360 = 0.069 (rechts)

BAM-Prüfvorlage VG42; Farbmétrik-Systeme CNS18 & ORS18input: olv\* setrgbcolor

D65: Koordinatensysteme; 5stufige Farbreihen für 10 Bunttöne output: olv\*' (TRI9) setrgbcolor

Eingabe: Farbmétrisches Natürliches-Reflektiv-System CNS18

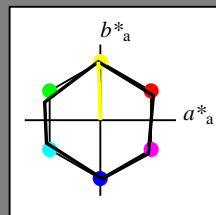
für Buntton  $h^* = lab^*h = 92/360 = 0.256$

$lab^*tch$  und  $lab^*nch$

D65: Buntton J

LCH\*Ma: 57 77 92

olv\*Ma: 1.0 1.0 0.0



CNS18; adaptierte CIELAB-Daten

	$L^*=L^*_a$	$a^*_a$	$b^*_a$	$C^*_{ab,a}$	$h^*_{ab,a}$
RMa	56.7	70.15	32.71	77.4	25
JMa	56.7	-2.69	77.35	77.4	92
GMa	56.7	-73.6	23.92	77.4	162
G50B <sub>Ma</sub>	56.7	-71.24	-30.23	77.4	203
B <sub>Ma</sub>	56.7	2.7	-77.34	77.4	272
B50R <sub>Ma</sub>	56.7	63.4	-44.38	77.4	325
N <sub>Ma</sub>	18.01	0.0	0.0	0.0	0
W <sub>Ma</sub>	95.41	0.0	0.0	0.0	0
RCIE	39.92	58.74	27.99	65.07	25
JCIE	81.26	-2.88	71.56	71.62	92
GCIE	52.23	-42.41	13.6	44.55	162
BCIE	30.57	1.41	-46.46	46.49	272

Dreiecks-Helligkeit  $t^*$

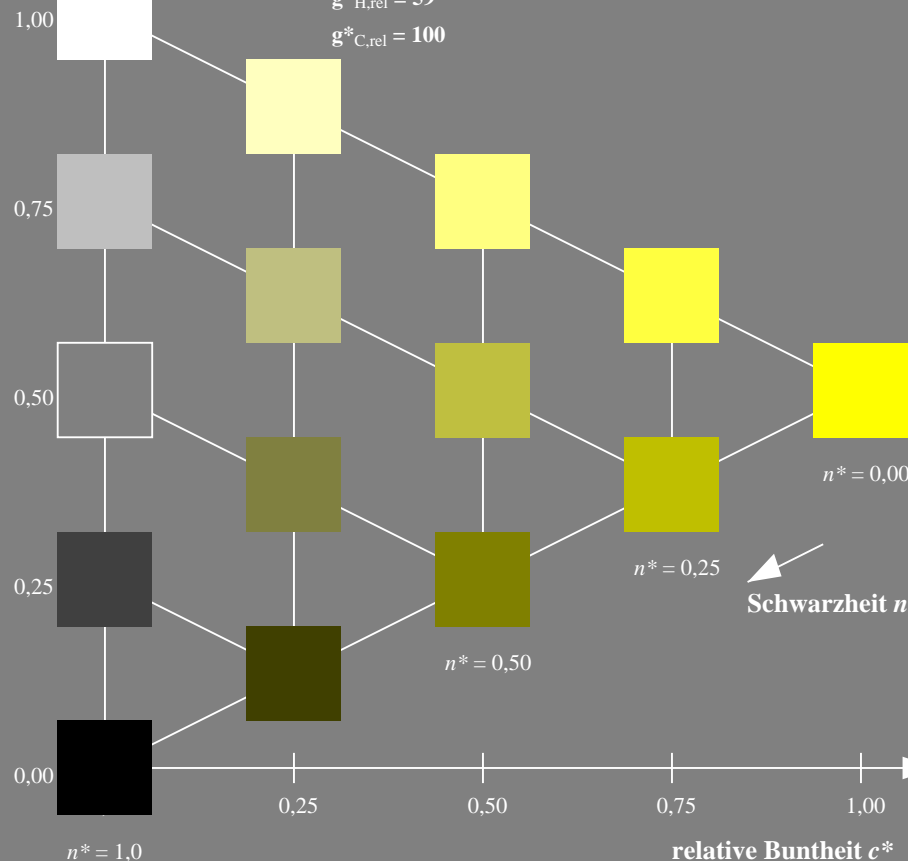
%Umfang

$u^*_{rel} = 100$

%Regularität

$g^*_{H,rel} = 59$

$g^*_{C,rel} = 100$



VG420-7, 5 stufige Reihen für konstanten CIELAB Buntton 92/360 = 0.256 (links)

BAM-Prüfvorlage VG42; Farbmétrik-Systeme CNS18 & ORS18input: olv\* setrgbcolor

D65: Koordinatensysteme; 5stufige Farbreihen für 10 Bunttöne output: olv\*' (TRI9) setrgbcolor

Ausgabe: Farbmétrisches Offset-Reflektiv-System ORS18

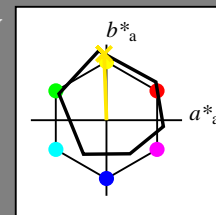
für Buntton  $h^* = lab^*h = 92/360 = 0.256$

$LAB^*LCH$ ,  $LAB^*NCH$

D65: Buntton Y

LCH\*Ma: 86 88 92

olv\*Ma: 1.0 0.9 0.0



ORS18; adaptierte CIELAB-Daten

	$L^*=L^*_a$	$a^*_a$	$b^*_a$	$C^*_{ab,a}$	$h^*_{ab,a}$
OMa	47.94	65.39	50.52	82.63	38
YMa	90.37	-10.26	91.75	92.32	96
LMa	50.9	-62.83	34.96	71.91	151
CMa	58.62	-30.34	-45.01	54.3	236
V <sub>Ma</sub>	25.72	31.1	-44.4	54.22	305
M <sub>Ma</sub>	48.13	75.28	-8.36	75.74	354
N <sub>Ma</sub>	18.01	0.0	0.0	0.0	0
W <sub>Ma</sub>	95.41	0.0	0.0	0.0	0
RCIE	39.92	58.66	26.98	64.57	25
JCIE	81.26	-2.16	67.76	67.79	92
GCIE	52.23	-42.25	11.76	43.87	164
BCIE	30.57	1.15	-46.84	46.86	271

CIELAB-Helligkeit  $L^*$

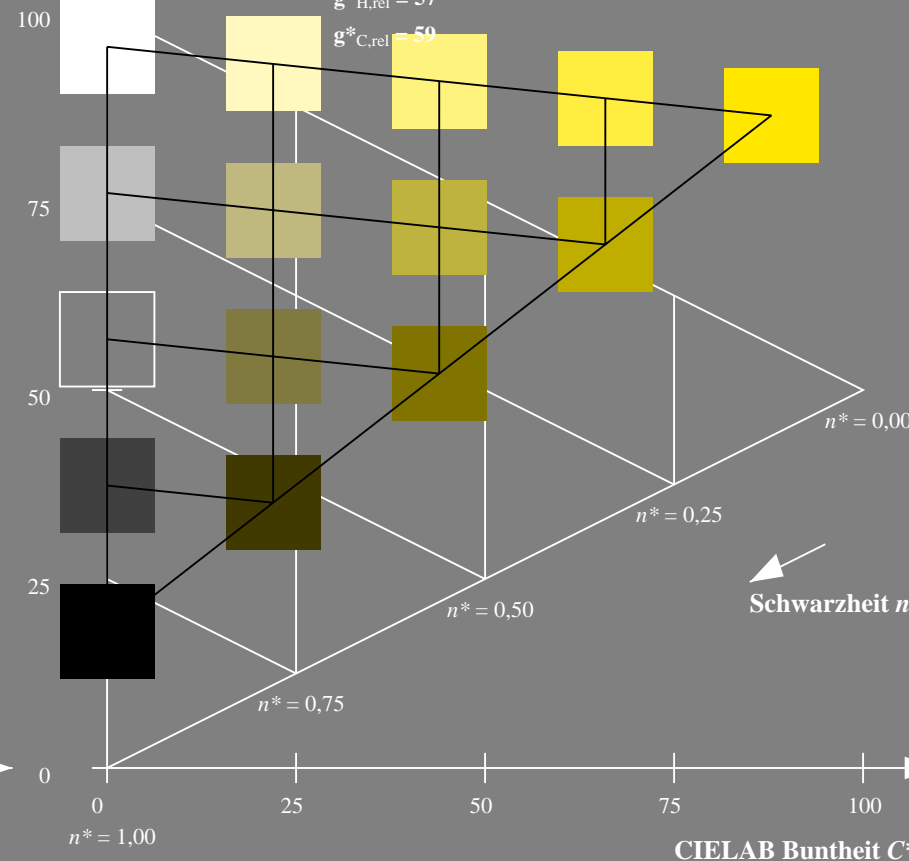
%Umfang

$u^*_{rel} = 93$

%Regularität

$g^*_{H,rel} = 57$

$g^*_{C,rel} = 59$



5 stufige Reihen für konstanten CIELAB Buntton 92/360 = 0.256 (rechts)

Eingabe: Farbmétrisches Natürliches-Reflektiv-System CNS18

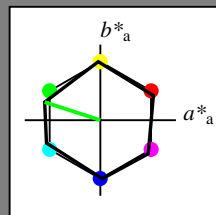
für Buntton  $h^* = lab^*h = 162/360 = 0.45$

$lab^*tch$  und  $lab^*nch$

D65: Buntton G

LCH\*Ma: 57 77 162

olv\*Ma: 0.0 1.0 0.0



CNS18; adaptierte CIELAB-Daten

	$L^*=L^*_a$	$a^*_a$	$b^*_a$	$C^*_{ab,a}$	$h^*_{ab,a}$
RMa	56.7	70.15	32.71	77.4	25
JMa	56.7	-2.69	77.35	77.4	92
GMa	56.7	-73.6	23.92	77.4	162
G50BMa	56.7	-71.24	-30.23	77.4	203
BMa	56.7	2.7	-77.34	77.4	272
B50RMa	56.7	63.4	-44.38	77.4	325
NMa	18.01	0.0	0.0	0.0	0
WMa	95.41	0.0	0.0	0.0	0
RCIE	39.92	58.74	27.99	65.07	25
JCIE	81.26	-2.88	71.56	71.62	92
GCIE	52.23	-42.41	13.6	44.55	162
BCIE	30.57	1.41	-46.46	46.49	272

Dreiecks-Helligkeit  $t^*$

1.00

0.75

0.50

0.25

0.00

%Umfang

$u^*_{rel} = 100$

%Regularität

$g^*_{H,rel} = 59$

$g^*_{C,rel} = 100$

$n^* = 0.00$

$n^* = 0.25$

$n^* = 0.50$

$n^* = 1.0$

relative Buntheit  $c^*$

VG420-7, 5 stufige Reihen für konstanten CIELAB Buntton 162/360 = 0.45 (links)

Ausgabe: Farbmétrisches Offset-Reflektiv-System ORS18

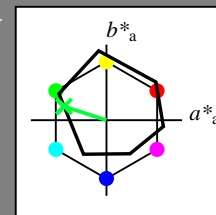
für Buntton  $h^* = lab^*h = 162/360 = 0.45$

$LAB^*LCH$ ,  $LAB^*NCH$

D65: Buntton L

LCH\*Ma: 53 59 162

olv\*Ma: 0.0 1.0 0.21



ORS18; adaptierte CIELAB-Daten

	$L^*=L^*_a$	$a^*_a$	$b^*_a$	$C^*_{ab,a}$	$h^*_{ab,a}$
OMa	47.94	65.39	50.52	82.63	38
YMa	90.37	-10.26	91.75	92.32	96
LMa	50.9	-62.83	34.96	71.91	151
CMa	58.62	-30.34	-45.01	54.3	236
VMa	25.72	31.1	-44.4	54.22	305
MMa	48.13	75.28	-8.36	75.74	354
NMa	18.01	0.0	0.0	0.0	0
WMa	95.41	0.0	0.0	0.0	0
RCIE	39.92	58.66	26.98	64.57	25
JCIE	81.26	-2.16	67.76	67.79	92
GCIE	52.23	-42.25	11.76	43.87	164
BCIE	30.57	1.15	-46.84	46.86	271

CIELAB-Helligkeit  $L^*$

100

75

50

25

0

%Umfang

$u^*_{rel} = 93$

%Regularität

$g^*_{H,rel} = 57$

$g^*_{C,rel} = 59$

$n^* = 0.00$

$n^* = 0.25$

$n^* = 0.50$

$n^* = 0.75$

$n^* = 1.00$

CIELAB Buntheit  $C^*_{ab}$

5 stufige Reihen für konstanten CIELAB Buntton 162/360 = 0.45 (rechts)

BAM-Prüfvorlage VG42; Farbmétrik-Systeme CNS18 & ORS18input: olv\* setrgbcolor

D65: Koordinatensysteme; 5stufige Farbreihen für 10 Bunttöne output: olv\*' (TRI9) setrgbcolor

Eingabe: Farbmétrisches Natürliches-Reflektiv-System CNS18

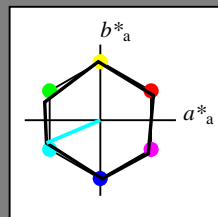
für Buntton  $h^* = lab^*h = 203/360 = 0.564$

$lab^*tch$  und  $lab^*nch$

D65: Buntton G50B

LCH\*Ma: 57 77 203

olv\*Ma: 0.0 1.0 1.0



CNS18; adaptierte CIELAB-Daten					
	$L^*=L^*_a$	$a^*_a$	$b^*_a$	$C^*_{ab,a}$	$h^*_{ab,a}$
RMa	56.7	70.15	32.71	77.4	25
JMa	56.7	-2.69	77.35	77.4	92
GMa	56.7	-73.6	23.92	77.4	162
G50B <sub>Ma</sub>	56.7	-71.24	-30.23	77.4	203
B <sub>Ma</sub>	56.7	2.7	-77.34	77.4	272
B50R <sub>Ma</sub>	56.7	63.4	-44.38	77.4	325
N <sub>Ma</sub>	18.01	0.0	0.0	0.0	0
W <sub>Ma</sub>	95.41	0.0	0.0	0.0	0
RCIE	39.92	58.74	27.99	65.07	25
JCIE	81.26	-2.88	71.56	71.62	92
GCIE	52.23	-42.41	13.6	44.55	162
BCIE	30.57	1.41	-46.46	46.49	272

Dreiecks-Helligkeit  $t^*$

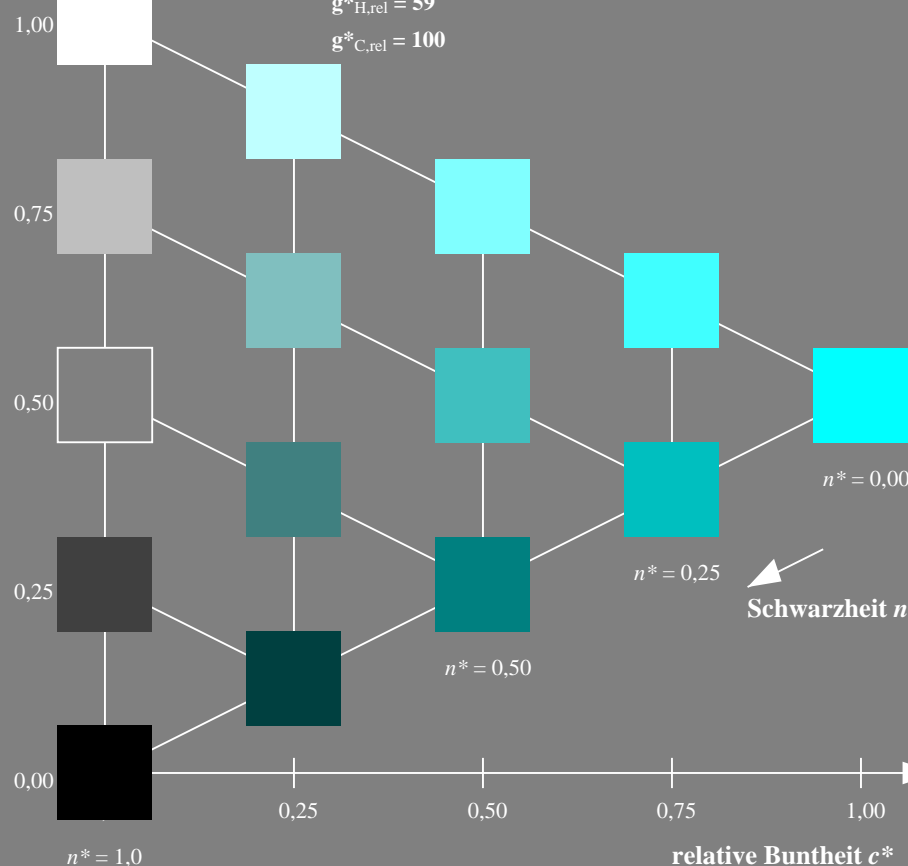
%Umfang

$u^*_{rel} = 100$

%Regularität

$g^*_{H,rel} = 59$

$g^*_{C,rel} = 100$



VG420-7, 5-stufige Reihen für konstanten CIELAB Buntton 203/360 = 0.564 (links)

BAM-Prüfvorlage VG42; Farbmétrik-Systeme CNS18 & ORS18input: olv\* setrgbcolor

D65: Koordinatensysteme; 5-stufige Farbreihen für 10 Bunttöne output: olv\*' (TRI9) setrgbcolor

Ausgabe: Farbmétrisches Offset-Reflektiv-System ORS18

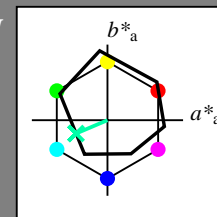
für Buntton  $h^* = lab^*h = 203/360 = 0.564$

$LAB^*LCH$ ,  $LAB^*NCH$

D65: Buntton C

LCH\*Ma: 56 45 203

olv\*Ma: 0.0 1.0 0.66



ORS18; adaptierte CIELAB-Daten					
	$L^*=L^*_a$	$a^*_a$	$b^*_a$	$C^*_{ab,a}$	$h^*_{ab,a}$
OMa	47.94	65.39	50.52	82.63	38
YMa	90.37	-10.26	91.75	92.32	96
LMa	50.9	-62.83	34.96	71.91	151
CMa	58.62	-30.34	-45.01	54.3	236
V <sub>Ma</sub>	25.72	31.1	-44.4	54.22	305
M <sub>Ma</sub>	48.13	75.28	-8.36	75.74	354
N <sub>Ma</sub>	18.01	0.0	0.0	0.0	0
W <sub>Ma</sub>	95.41	0.0	0.0	0.0	0
RCIE	39.92	58.66	26.98	64.57	25
JCIE	81.26	-2.16	67.76	67.79	92
GCIE	52.23	-42.25	11.76	43.87	164
BCIE	30.57	1.15	-46.84	46.86	271

CIELAB-Helligkeit  $L^*$

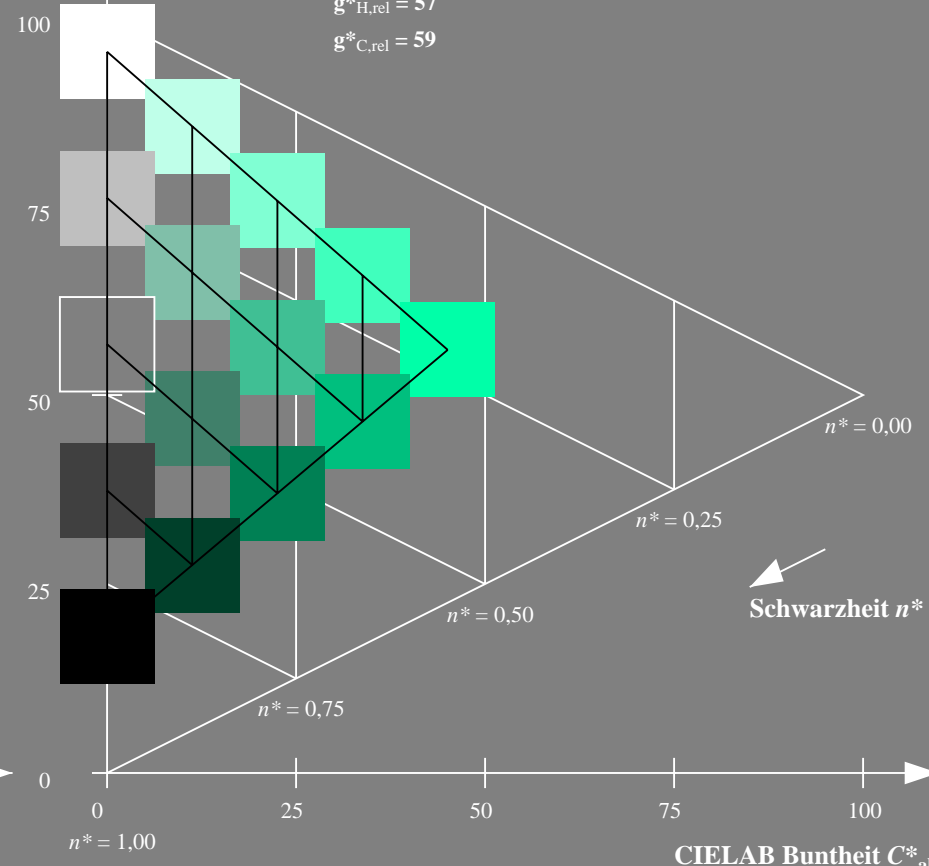
%Umfang

$u^*_{rel} = 93$

%Regularität

$g^*_{H,rel} = 57$

$g^*_{C,rel} = 59$



5-stufige Reihen für konstanten CIELAB Buntton 203/360 = 0.564 (rechts)

**Eingabe: Farbmétrisches Natürliches-Reflektiv-System CNS18**

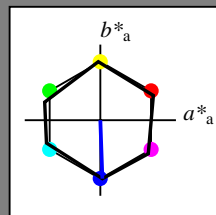
für Buntton  $h^* = l a b^* h = 272/360 = 0.756$

*lab\*tch* und *lab\*nch*

## D65: Buntton B

**LCH\*Ma: 57 77 272**

**olv\*Ma: 0.0 0.0 1.0**



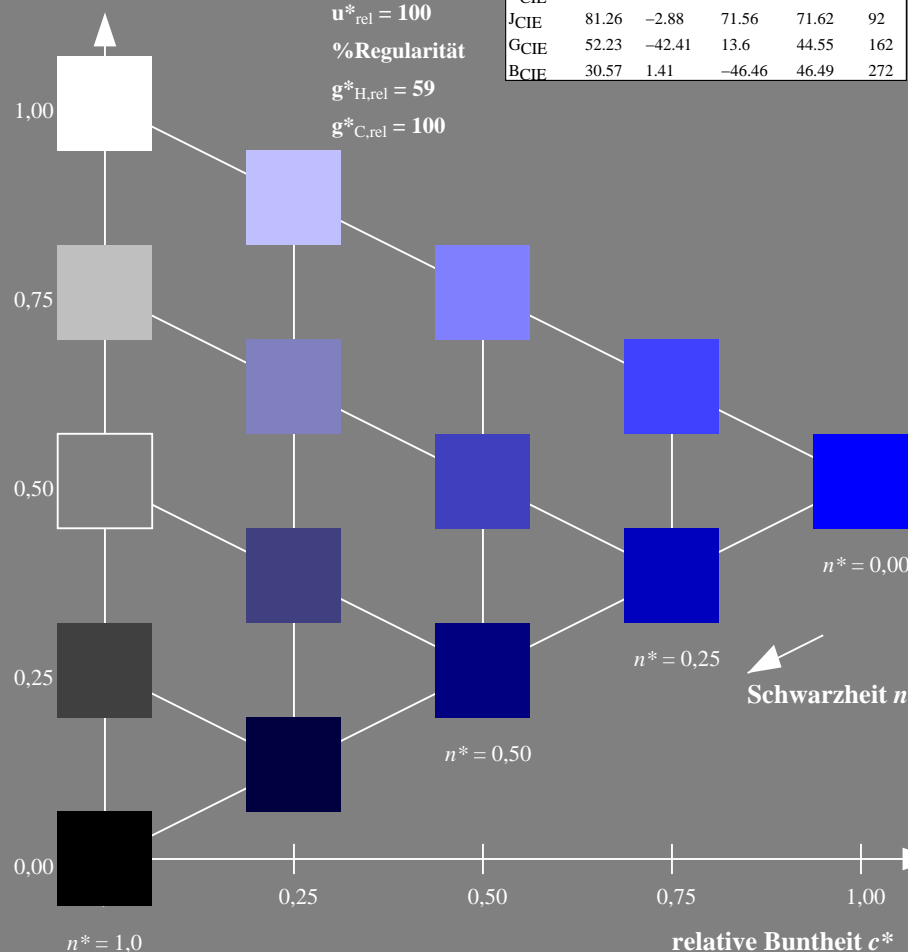
CNS18; adaptierte CIELAB-Daten					
	$L^* = L^*_a$	$a^*_a$	$b^*_a$	$C^*_{ab,a}$	$h^*_{ab,a}$
RMa	56.7	70.15	32.71	77.4	25
JMa	56.7	-2.69	77.35	77.4	92
GMa	56.7	-73.6	23.92	77.4	162
G50B <sub>Ma</sub>	56.7	-71.24	-30.23	77.4	203
B <sub>Ma</sub>	56.7	2.7	-77.34	77.4	272
B50R <sub>Ma</sub>	56.7	63.4	-44.38	77.4	325
N <sub>Ma</sub>	18.01	0.0	0.0	0.0	0
W <sub>Ma</sub>	95.41	0.0	0.0	0.0	0
R <sub>CIE</sub>	39.92	58.74	27.99	65.07	25
J <sub>CIE</sub>	81.26	-2.88	71.56	71.62	92
G <sub>CIE</sub>	52.23	-42.41	13.6	44.55	162
B <sub>CIE</sub>	30.57	1.41	-46.46	46.49	272

### Dreiecks-Helligkeit $t^*$

**%Umfang**

$$\mathbf{u}_{\text{rel}}^* = 100$$

### %Regularität

$$g^*_{H,rel} = 59$$
$$g^*_{C,rel} = 100$$
VG420–7, 5 stufige Reihen für konstanten CIELAB Buntton  $272/360 = 0.756$  (links)

**Ausgabe: Farbmétrisches Offset-Reflektiv-System ORS18**

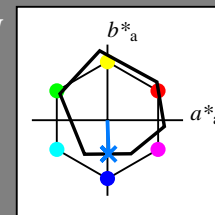
für Buntton  $h^* = lab^*h = 272/360 = 0.756$

*LAB\*LCH, LAB\*NCH*

### D65: Buntton V

**LCH\*Ma: 42 45 272**

olv\*Ma: 0.0 0.48 1.0



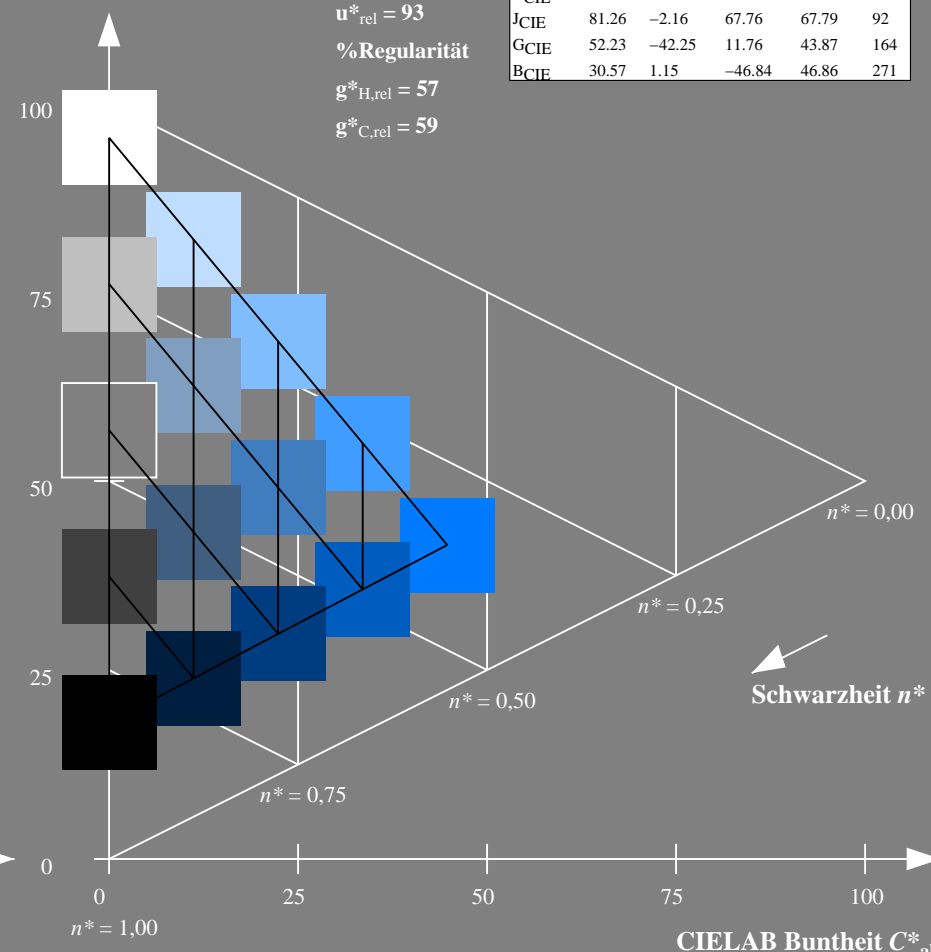
ORS18; adaptierte CIELAB-Daten					
	$L^*_{ab}$	$a^*_{ab}$	$b^*_{ab}$	$C^*_{ab}$	$h^*_{ab}$
OMa	47.94	65.39	50.52	82.63	38
YMa	90.37	-10.26	91.75	92.32	96
LMa	50.9	-62.83	34.96	71.91	151
CMa	58.62	-30.34	-45.01	54.3	236
VMa	25.72	31.1	-44.4	54.22	305
MMa	48.13	75.28	-8.36	75.74	354
NMa	18.01	0.0	0.0	0.0	0
WMa	95.41	0.0	0.0	0.0	0
RCIE	39.92	58.66	26.98	64.57	25
JCIE	81.26	-2.16	67.76	67.79	92
GCIE	52.23	-42.25	11.76	43.87	164
BCIE	30.57	1.15	-46.84	46.86	27

CIELAB-Helligkeit  $L^*$ 

**%Umfang**

$$\mathbf{u}_{\text{rel}}^* = 93$$

**%Regularität**

$$g^*_{H,rel} = 57$$
$$g^*_{C,rel} = 59$$
5 stufige Reihen für konstanten CIELAB Buntton  $272/360 = 0.756$  (rechts)

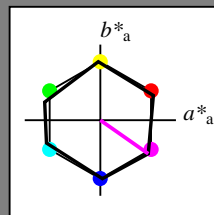
BAM-Prüfvorlage VG42; Farbmatrik-Systeme CNS18 & ORS18input: *olv\* setrgbcolor*

D65: Koordinatensysteme; 5stufige Farbreihen für 10 Bunttöne    output: *olv\**, (*TRI9*) *setrgbcolor*

Eingabe: Farbmétrisches Natürliches-Reflektiv-System CNS18

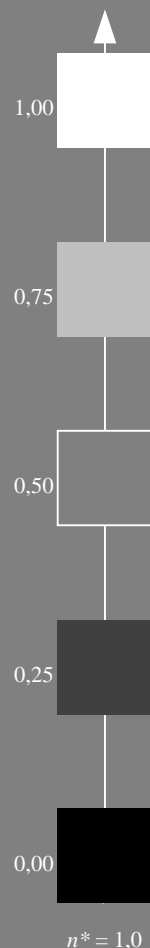
für Buntton  $h^* = lab^*h = 325/360 = 0.903$   
 $lab^*tch$  und  $lab^*nch$

D65: Buntton B50R  
LCH\*Ma: 57 77 325  
olv\*Ma: 1.0 0.0 1.0



CNS18; adaptierte CIELAB-Daten					
	$L^*=L^*_a$	$a^*_a$	$b^*_a$	$C^*_{ab,a}$	$h^*_{ab,a}$
RMa	56.7	70.15	32.71	77.4	25
JMa	56.7	-2.69	77.35	77.4	92
GMa	56.7	-73.6	23.92	77.4	162
G50BMa	56.7	-71.24	-30.23	77.4	203
BMa	56.7	2.7	-77.34	77.4	272
B50RMa	56.7	63.4	-44.38	77.4	325
NMa	18.01	0.0	0.0	0.0	0
WMa	95.41	0.0	0.0	0.0	0
RCIE	39.92	58.74	27.99	65.07	25
JCIE	81.26	-2.88	71.56	71.62	92
GCIE	52.23	-42.41	13.6	44.55	162
BCIE	30.57	1.41	-46.46	46.49	272

Dreiecks-Helligkeit  $t^*$

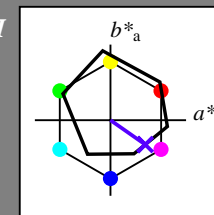


%Umfang  
 $u^*_{rel} = 100$   
%Regularität  
 $g^*_{H,rel} = 59$   
 $g^*_{C,rel} = 100$

Ausgabe: Farbmétrisches Offset-Reflektiv-System ORS18

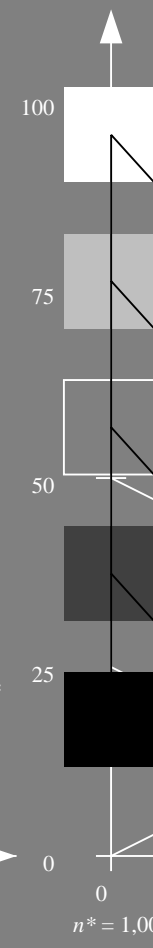
für Buntton  $h^* = lab^*h = 325/360 = 0.903$   
 $LAB^*LCH$ ,  $LAB^*NCH$

D65: Buntton M  
LCH\*Ma: 33 56 325  
olv\*Ma: 0.34 0.0 1.0

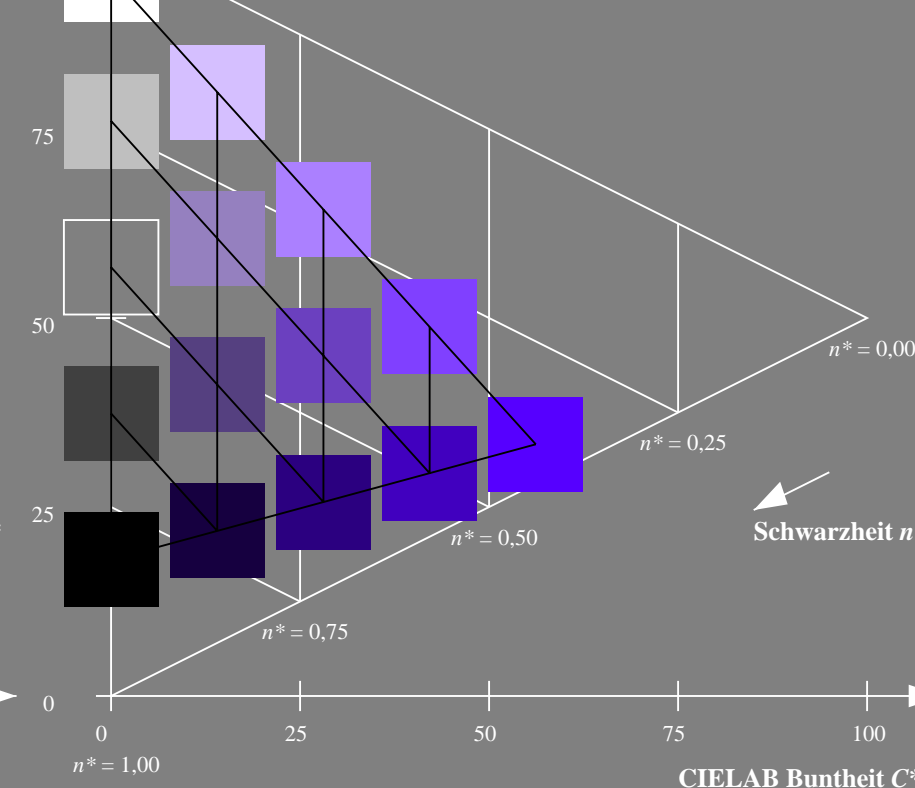


ORS18; adaptierte CIELAB-Daten					
	$L^*=L^*_a$	$a^*_a$	$b^*_a$	$C^*_{ab,a}$	$h^*_{ab,a}$
OMa	47.94	65.39	50.52	82.63	38
YMa	90.37	-10.26	91.75	92.32	96
LMa	50.9	-62.83	34.96	71.91	151
CMa	58.62	-30.34	-45.01	54.3	236
VMa	25.72	31.1	-44.4	54.22	305
MMa	48.13	75.28	-8.36	75.74	354
NMa	18.01	0.0	0.0	0.0	0
WMa	95.41	0.0	0.0	0.0	0
RCIE	39.92	58.66	26.98	64.57	25
JCIE	81.26	-2.16	67.76	67.79	92
GCIE	52.23	-42.25	11.76	43.87	164
BCIE	30.57	1.15	-46.84	46.86	271

CIELAB-Helligkeit  $L^*$



%Umfang  
 $u^*_{rel} = 93$   
%Regularität  
 $g^*_{H,rel} = 57$   
 $g^*_{C,rel} = 59$



VG420-7, 5 stufige Reihen für konstanten CIELAB Buntton 325/360 = 0.903 (links)

5 stufige Reihen für konstanten CIELAB Buntton 325/360 = 0.903 (rechts)

BAM-Prüfvorlage VG42; Farbmétrik-Systeme CNS18 & ORS18input: olv\* setrgbcolor

D65: Koordinatensysteme; 5stufige Farbreihen für 10 Bunttöne output: olv\*' (TRI9) setrgbcolor

Eingabe: Farbmétrisches Natürliches-Reflektiv-System CNS18

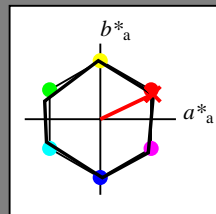
für Buntton  $h^* = lab^*h = 25/360 = 0.071$

$lab^*tch$  und  $lab^*nch$

D65: Buntton R

LCH\*Ma: 57 77 25

olv\*Ma: 1.0 0.01 0.0



CNS18; adaptierte CIELAB-Daten

	$L^*=L^*_a$	$a^*_a$	$b^*_a$	$C^*_{ab,a}$	$h^*_{ab,a}$
RMa	56.7	70.15	32.71	77.4	25
JMa	56.7	-2.69	77.35	77.4	92
GMa	56.7	-73.6	23.92	77.4	162
G50BMa	56.7	-71.24	-30.23	77.4	203
BMa	56.7	2.7	-77.34	77.4	272
B50RMa	56.7	63.4	-44.38	77.4	325
NMa	18.01	0.0	0.0	0.0	0
WMa	95.41	0.0	0.0	0.0	0
RCIE	39.92	58.74	27.99	65.07	25
JCIE	81.26	-2.88	71.56	71.62	92
GCIE	52.23	-42.41	13.6	44.55	162
BCIE	30.57	1.41	-46.46	46.49	272

Dreiecks-Helligkeit  $t^*$

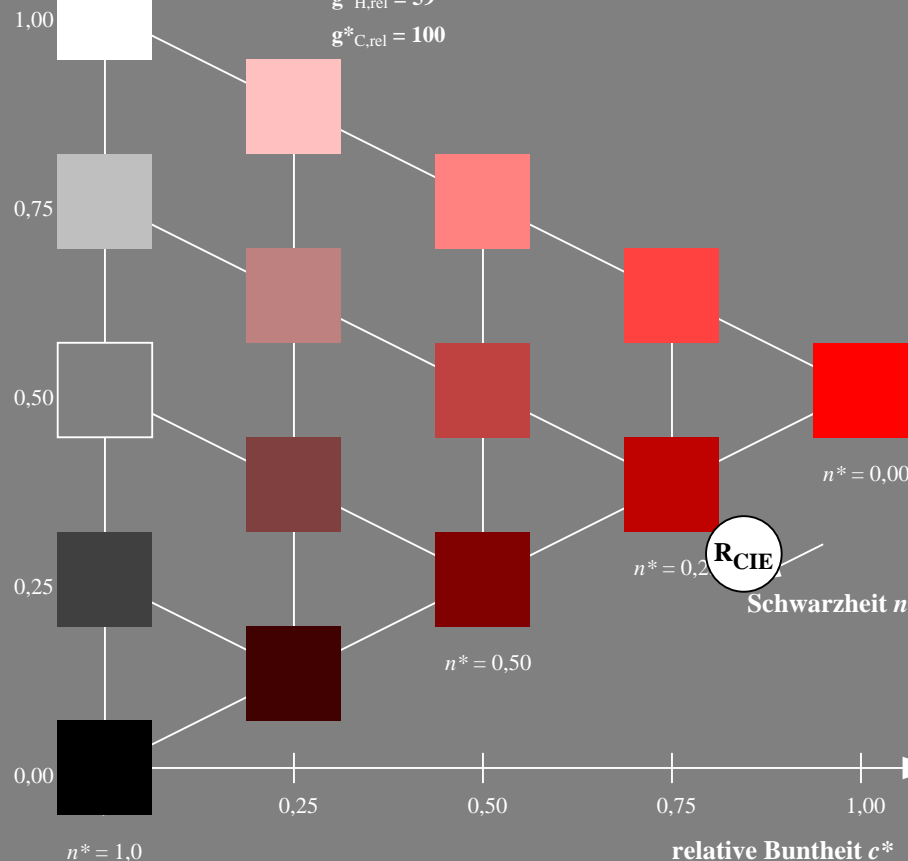
%Umfang

$u^*_{rel} = 100$

%Regularität

$g^*_{H,rel} = 59$

$g^*_{C,rel} = 100$



VG420-7, 5 stufige Reihen für konstanten CIELAB Buntton 25/360 = 0.071 (links)

BAM-Prüfvorlage VG42; Farbmétrik-Systeme CNS18 & ORS18input: olv\* setrgbcolor

D65: Koordinatensysteme; 5stufige Farbreihen für 10 Bunttöne output: olv\*' (TRI9) setrgbcolor

Ausgabe: Farbmétrisches Offset-Reflektiv-System ORS18

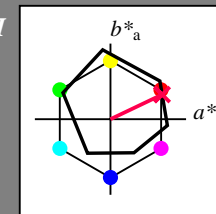
für Buntton  $h^* = lab^*h = 25/360 = 0.071$

$LAB^*LCH$ ,  $LAB^*NCH$

D65: Buntton R

LCH\*Ma: 48 76 25

olv\*Ma: 1.0 0.0 0.3



ORS18; adaptierte CIELAB-Daten

	$L^*=L^*_a$	$a^*_a$	$b^*_a$	$C^*_{ab,a}$	$h^*_{ab,a}$
OMa	47.94	65.39	50.52	82.63	38
YMa	90.37	-10.26	91.75	92.32	96
LMa	50.9	-62.83	34.96	71.91	151
CMa	58.62	-30.34	-45.01	54.3	236
VMa	25.72	31.1	-44.4	54.22	305
MMa	48.13	75.28	-8.36	75.74	354
NMa	18.01	0.0	0.0	0.0	0
WMa	95.41	0.0	0.0	0.0	0
RCIE	39.92	58.66	26.98	64.57	25
JCIE	81.26	-2.16	67.76	67.79	92
GCIE	52.23	-42.25	11.76	43.87	164
BCIE	30.57	1.15	-46.84	46.86	271

CIELAB-Helligkeit  $L^*$

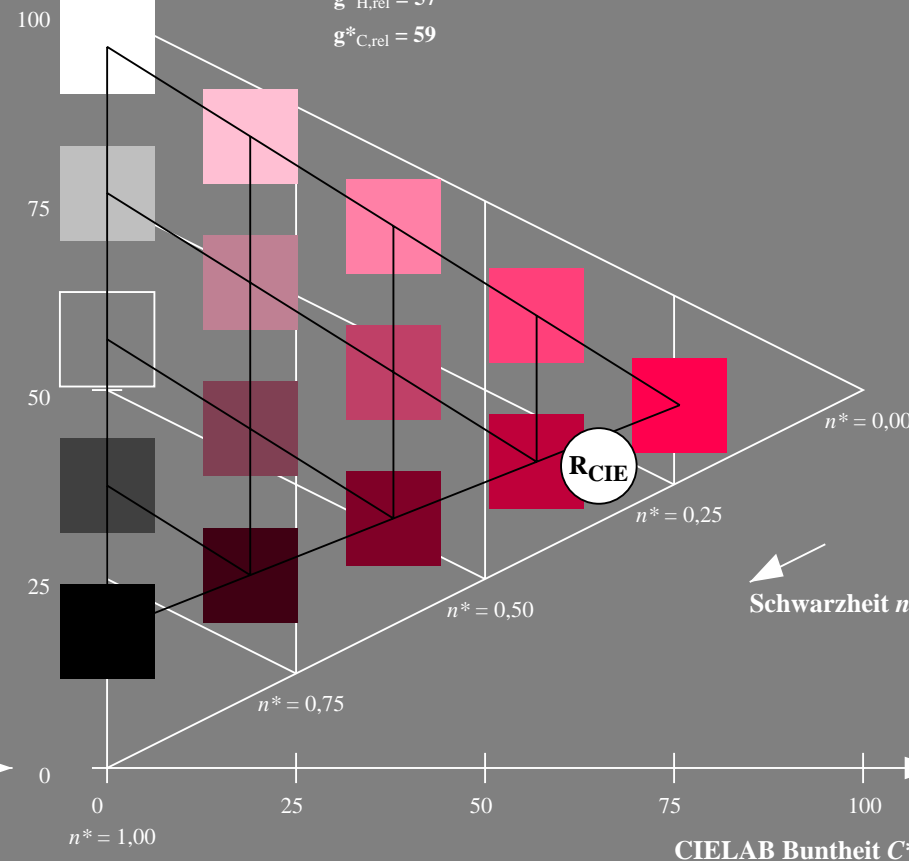
%Umfang

$u^*_{rel} = 93$

%Regularität

$g^*_{H,rel} = 57$

$g^*_{C,rel} = 59$



5 stufige Reihen für konstanten CIELAB Buntton 25/360 = 0.071 (rechts)



Eingabe: Farbmétrisches Natürliches-Reflektiv-System CNS18

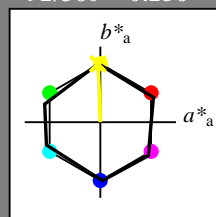
für Buntton  $h^* = lab^*h = 92/360 = 0.256$

$lab^*tch$  und  $lab^*nch$

D65: Buntton J

LCH\*Ma: 57 77 92

olv\*Ma: 0.99 1.0 0.0



CNS18; adaptierte CIELAB-Daten

	$L^*=L^*_a$	$a^*_a$	$b^*_a$	$C^*_{ab,a}$	$h^*_{ab,a}$
RMa	56.7	70.15	32.71	77.4	25
JMa	56.7	-2.69	77.35	77.4	92
GMa	56.7	-73.6	23.92	77.4	162
G50B <sub>Ma</sub>	56.7	-71.24	-30.23	77.4	203
B <sub>Ma</sub>	56.7	2.7	-77.34	77.4	272
B50R <sub>Ma</sub>	56.7	63.4	-44.38	77.4	325
N <sub>Ma</sub>	18.01	0.0	0.0	0.0	0
W <sub>Ma</sub>	95.41	0.0	0.0	0.0	0
RCIE	39.92	58.74	27.99	65.07	25
J <sub>CIE</sub>	81.26	-2.88	71.56	71.62	92
G <sub>CIE</sub>	52.23	-42.41	13.6	44.55	162
B <sub>CIE</sub>	30.57	1.41	-46.46	46.49	272

Dreiecks-Helligkeit  $t^*$

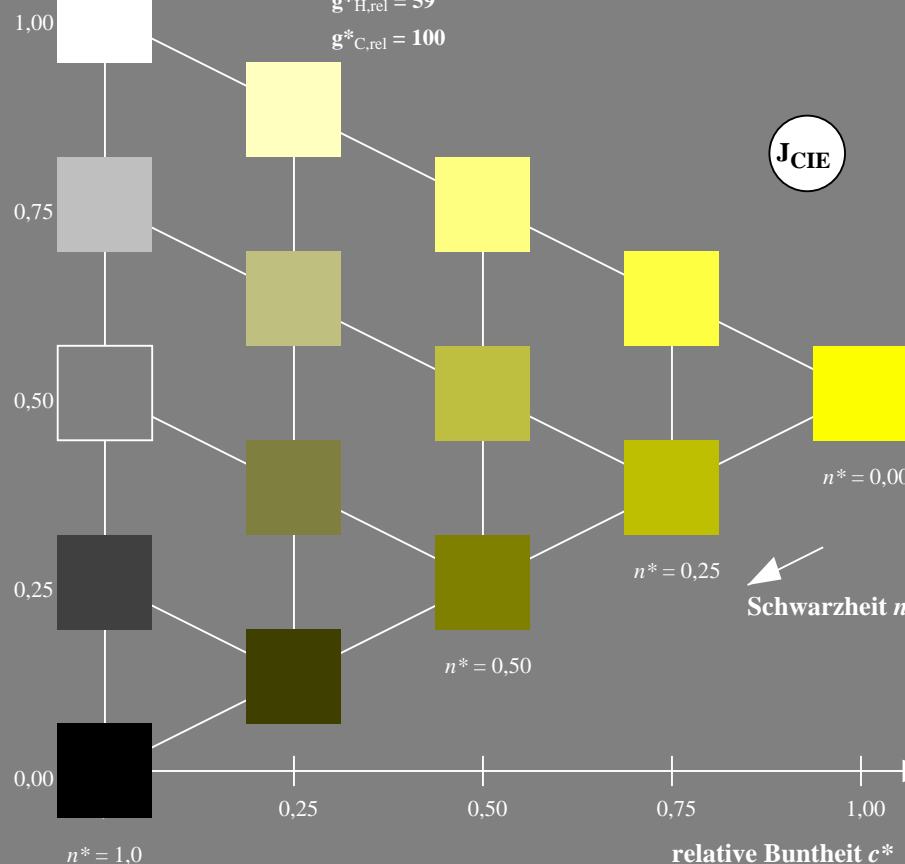
%Umfang

$u^*_{rel} = 100$

%Regularität

$g^*_{H,rel} = 59$

$g^*_{C,rel} = 100$



VG420-7, 5 stufige Reihen für konstanten CIELAB Buntton 92/360 = 0.256 (links)

BAM-Prüfvorlage VG42; Farbmétrik-Systeme CNS18 & ORS18input: olv\* setrgbcolor

D65: Koordinatensysteme; 5stufige Farbreihen für 10 Bunttöne output: olv\*' (TRI9) setrgbcolor

Ausgabe: Farbmétrisches Offset-Reflektiv-System ORS18

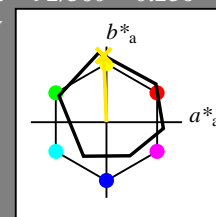
für Buntton  $h^* = lab^*h = 92/360 = 0.256$

$LAB^*LCH$ ,  $LAB^*NCH$

D65: Buntton J

LCH\*Ma: 87 88 92

olv\*Ma: 1.0 0.91 0.0



ORS18; adaptierte CIELAB-Daten

	$L^*=L^*_a$	$a^*_a$	$b^*_a$	$C^*_{ab,a}$	$h^*_{ab,a}$
OMa	47.94	65.39	50.52	82.63	38
YMa	90.37	-10.26	91.75	92.32	96
LMa	50.9	-62.83	34.96	71.91	151
CMa	58.62	-30.34	-45.01	54.3	236
V <sub>Ma</sub>	25.72	31.1	-44.4	54.22	305
M <sub>Ma</sub>	48.13	75.28	-8.36	75.74	354
N <sub>Ma</sub>	18.01	0.0	0.0	0.0	0
W <sub>Ma</sub>	95.41	0.0	0.0	0.0	0
RCIE	39.92	58.66	26.98	64.57	25
J <sub>CIE</sub>	81.26	-2.16	67.76	67.79	92
G <sub>CIE</sub>	52.23	-42.25	11.76	43.87	164
B <sub>CIE</sub>	30.57	1.15	-46.84	46.86	271

CIELAB-Helligkeit  $L^*$

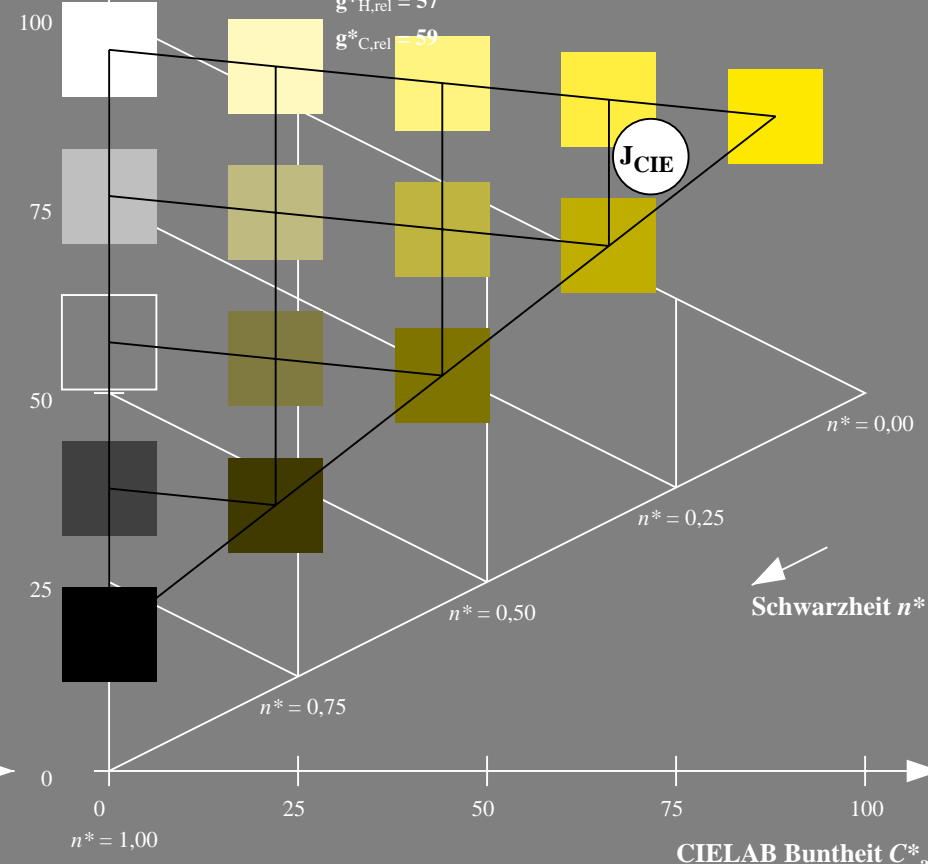
%Umfang

$u^*_{rel} = 93$

%Regularität

$g^*_{H,rel} = 57$

$g^*_{C,rel} = 59$



5 stufige Reihen für konstanten CIELAB Buntton 92/360 = 0.256 (rechts)



Eingabe: Farbmétrisches Natürliches-Reflektiv-System CNS18

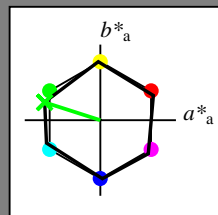
für Buntton  $h^* = lab^*h = 162/360 = 0.451$

$lab^*tch$  und  $lab^*nch$

D65: Buntton G

LCH\*Ma: 57 77 162

olv\*Ma: 0.0 1.0 0.01



CNS18; adaptierte CIELAB-Daten

	$L^*=L^*_a$	$a^*_a$	$b^*_a$	$C^*_{ab,a}$	$h^*_{ab,a}$
RMa	56.7	70.15	32.71	77.4	25
JMa	56.7	-2.69	77.35	77.4	92
GMa	56.7	-73.6	23.92	77.4	162
G50BMa	56.7	-71.24	-30.23	77.4	203
BMa	56.7	2.7	-77.34	77.4	272
B50RMa	56.7	63.4	-44.38	77.4	325
NMa	18.01	0.0	0.0	0.0	0
WMa	95.41	0.0	0.0	0.0	0
RCIE	39.92	58.74	27.99	65.07	25
JCIE	81.26	-2.88	71.56	71.62	92
GCIE	52.23	-42.41	13.6	44.55	162
BCIE	30.57	1.41	-46.46	46.49	272

Dreiecks-Helligkeit  $t^*$

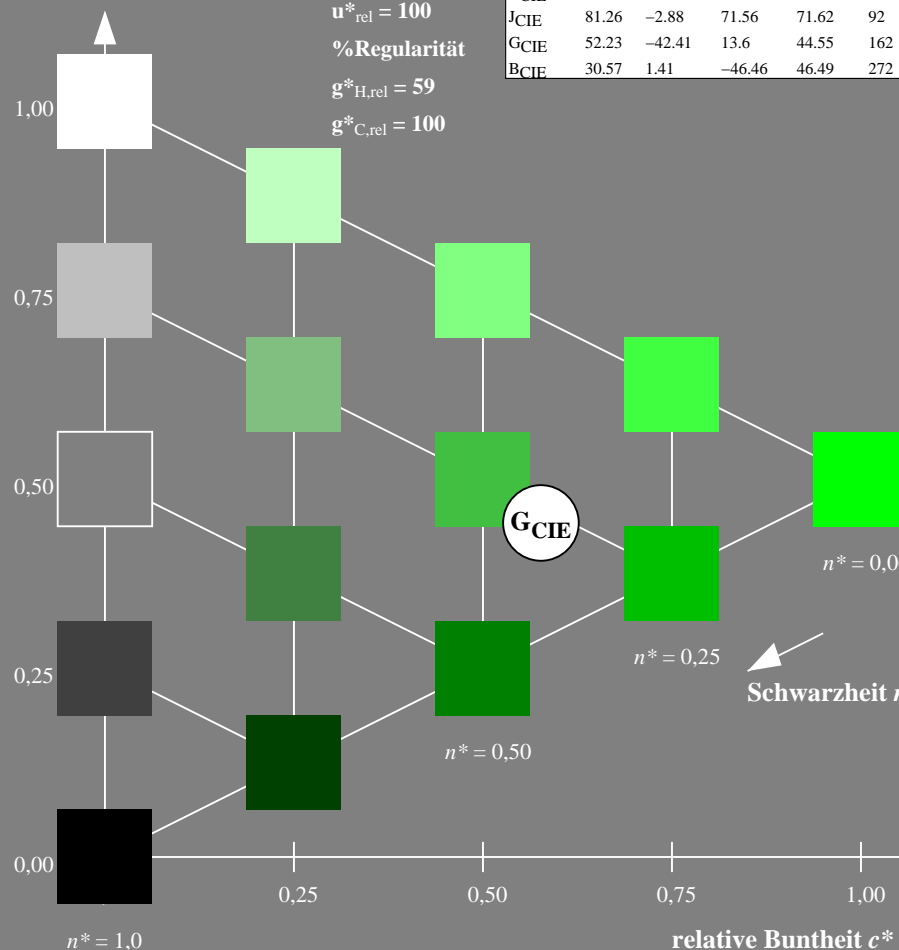
%Umfang

$u^*_{rel} = 100$

%Regularität

$g^*_{H,rel} = 59$

$g^*_{C,rel} = 100$



VG420-7, 5 stufige Reihen für konstanten CIELAB Buntton 162/360 = 0.451 (links)

Ausgabe: Farbmétrisches Offset-Reflektiv-System ORS18

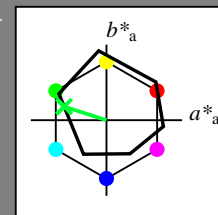
für Buntton  $h^* = lab^*h = 162/360 = 0.451$

$LAB^*LCH$ ,  $LAB^*NCH$

D65: Buntton G

LCH\*Ma: 53 59 162

olv\*Ma: 0.0 1.0 0.21



ORS18; adaptierte CIELAB-Daten

	$L^*=L^*_a$	$a^*_a$	$b^*_a$	$C^*_{ab,a}$	$h^*_{ab,a}$
OMa	47.94	65.39	50.52	82.63	38
YMa	90.37	-10.26	91.75	92.32	96
LMa	50.9	-62.83	34.96	71.91	151
CMa	58.62	-30.34	-45.01	54.3	236
VMa	25.72	31.1	-44.4	54.22	305
MMa	48.13	75.28	-8.36	75.74	354
NMa	18.01	0.0	0.0	0.0	0
WMa	95.41	0.0	0.0	0.0	0
RCIE	39.92	58.66	26.98	64.57	25
JCIE	81.26	-2.16	67.76	67.79	92
GCIE	52.23	-42.25	11.76	43.87	164
BCIE	30.57	1.15	-46.84	46.86	271

CIELAB-Helligkeit  $L^*$

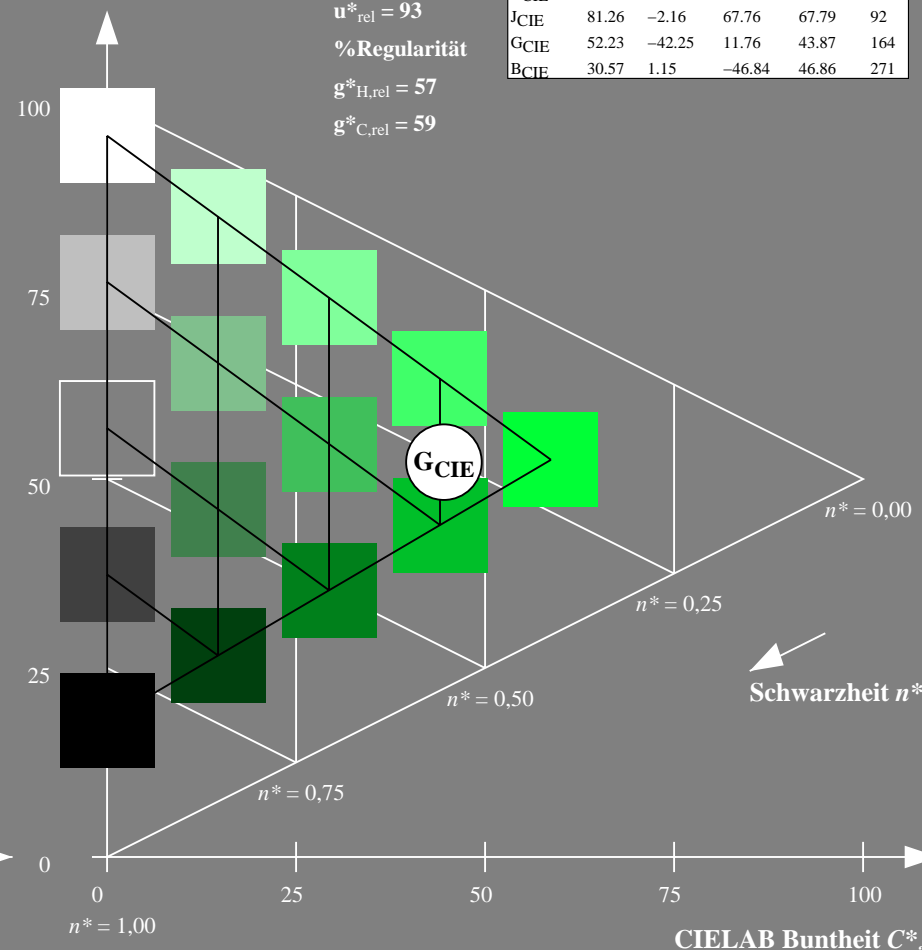
%Umfang

$u^*_{rel} = 93$

%Regularität

$g^*_{H,rel} = 57$

$g^*_{C,rel} = 59$



5 stufige Reihen für konstanten CIELAB Buntton 162/360 = 0.451 (rechts)

BAM-Prüfvorlage VG42; Farbmétrik-Systeme CNS18 & ORS18input: olv\* setrgbcolor

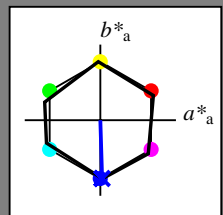
D65: Koordinatensysteme; 5stufige Farbreihen für 10 Bunttöne output: olv\*' (TRI9) setrgbcolor

Eingabe: Farbmétrisches Natürliches-Reflektiv-System CNS18

für Buntton  $h^* = lab^*h = 272/360 = 0.755$   
 $lab^*tch$  und  $lab^*nch$

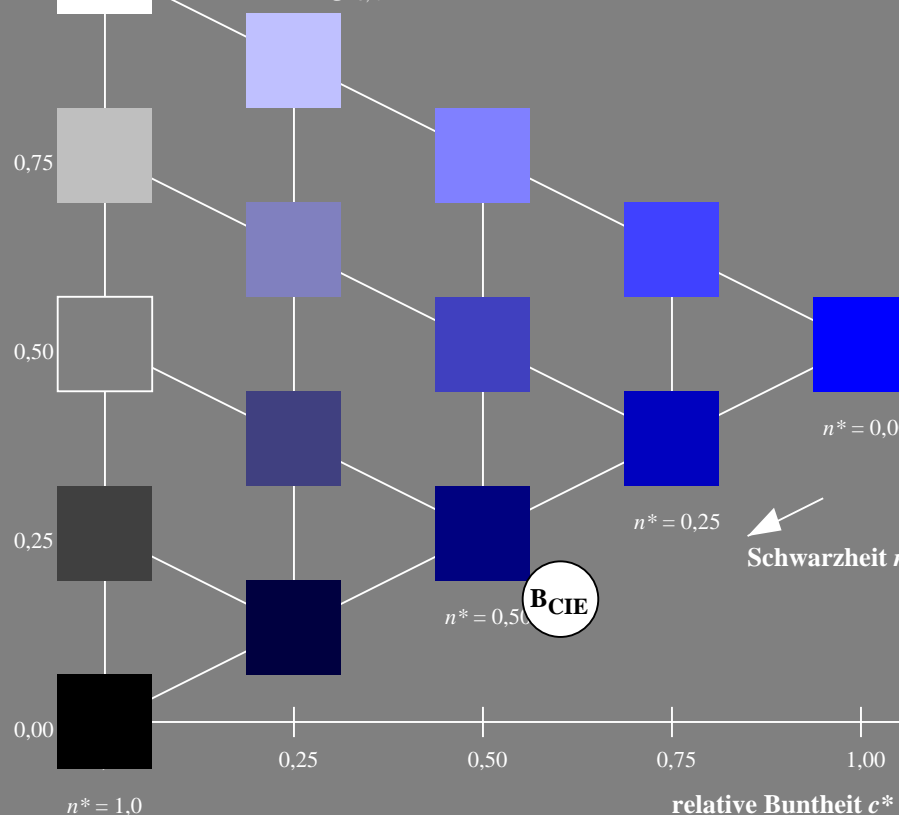
D65: Buntton B  
LCH\*Ma: 57 77 272  
olv\*Ma: 0.0 0.0 1.0

CNS18; adaptierte CIELAB-Daten					
	$L^*=L^*_a$	$a^*_a$	$b^*_a$	$C^*_{ab,a}$	$h^*_{ab,a}$
RMa	56.7	70.15	32.71	77.4	25
JMa	56.7	-2.69	77.35	77.4	92
GMa	56.7	-73.6	23.92	77.4	162
G50BMa	56.7	-71.24	-30.23	77.4	203
BMa	56.7	2.7	-77.34	77.4	272
B50RMa	56.7	63.4	-44.38	77.4	325
NMa	18.01	0.0	0.0	0.0	0
WMa	95.41	0.0	0.0	0.0	0
RCIE	39.92	58.74	27.99	65.07	25
JCIE	81.26	-2.88	71.56	71.62	92
GCIE	52.23	-42.41	13.6	44.55	162
BCIE	30.57	1.41	-46.46	46.49	272



Dreiecks-Helligkeit  $t^*$

%Umfang  
 $u^*_{rel} = 100$   
%Regularität  
 $g^*_{H,rel} = 59$   
 $g^*_{C,rel} = 100$



VG420-7, 5 stufige Reihen für konstanten CIELAB Buntton 272/360 = 0.755 (links)

BAM-Prüfvorlage VG42; Farbmétrik-Systeme CNS18 & ORS18input: olv\* setrgbcolor

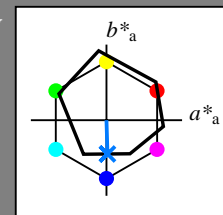
D65: Koordinatensysteme; 5stufige Farbreihen für 10 Bunttöne output: olv\*' (TRI9) setrgbcolor

Ausgabe: Farbmétrisches Offset-Reflektiv-System ORS18

für Buntton  $h^* = lab^*h = 272/360 = 0.755$   
 $LAB^*LCH$ ,  $LAB^*NCH$

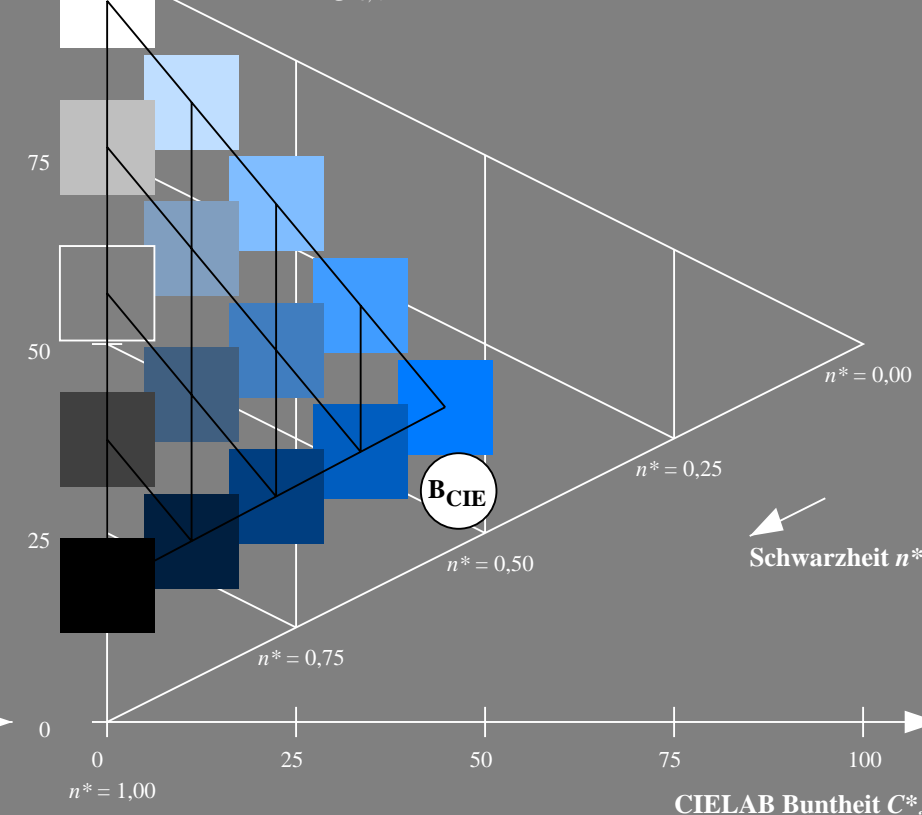
D65: Buntton B  
LCH\*Ma: 42 45 272  
olv\*Ma: 0.0 0.48 1.0

ORS18; adaptierte CIELAB-Daten					
	$L^*=L^*_a$	$a^*_a$	$b^*_a$	$C^*_{ab,a}$	$h^*_{ab,a}$
OMa	47.94	65.39	50.52	82.63	38
YMa	90.37	-10.26	91.75	92.32	96
LMa	50.9	-62.83	34.96	71.91	151
CMa	58.62	-30.34	-45.01	54.3	236
VMa	25.72	31.1	-44.4	54.22	305
MMa	48.13	75.28	-8.36	75.74	354
NMa	18.01	0.0	0.0	0.0	0
WMa	95.41	0.0	0.0	0.0	0
RCIE	39.92	58.66	26.98	64.57	25
JCIE	81.26	-2.16	67.76	67.79	92
GCIE	52.23	-42.25	11.76	43.87	164
BCIE	30.57	1.15	-46.84	46.86	271



CIELAB-Helligkeit  $L^*$

%Umfang  
 $u^*_{rel} = 93$   
%Regularität  
 $g^*_{H,rel} = 57$   
 $g^*_{C,rel} = 59$



5 stufige Reihen für konstanten CIELAB Buntton 272/360 = 0.755 (rechts)